



Design and Construction of a New Rapid Opening Valve with Fibre Optic Systems for a Non-Diaphragm Shock Tube

ARTICLE INFO

Article Type

Original Research

Authors

Ghezelayagh M.H.¹ PhD,
Samimi M.A.² MSc,
Zamani J.*² PhD

How to cite this article

Ghezelayagh M.H, Samimi M.A, Norouzi M, Zamani J. Design and Construction of a New Rapid Opening Valve with Fibre Optic Systems for a Non-Diaphragm Shock Tube. Modares Mechanical Engineering. 2019;19(5):1265-1274.

ABSTRACT

This paper investigates a kind of KNTU1 non-diaphragm shock tube equipped with an innovative design valve within a driven tube. The shock tube is capable of generating a flat shock wave in its driven tube with a length to diameter ratio of 41/6. The KNTU1 shock tube is diaphragm-type and some limitations of this kind of shock tube such as the lack of repeatability without disassembling, the inability to adjust pressure ratio at a specified interval, and the inability to automate the shock tube caused a development on an automated shock tube. In this study, an innovative mechanism to achieve high-speed opening valve with an opening time of 8ms and 10ms is proposed. The unique feature of this automatic valve, compared with existing valves, is its opening from the center to the sides, such as the camera aperture. This is the best way to open the valve and smooth the wave and compensates for a part of the opening time of the valve. Also, the alignment of the driver and the drain prevents disturbances caused by the redirection or rotation of the gas seen in most valves. These help optimize the shock tube. Another initiative in this paper is the design and construction of an optical system to measure the speed and the moment of shock wave arrival to check the shape surface of the shock wave. This system has the ability to move in driven. This paper has been compiled to compare theoretical and experimental data of shock wave.

Keywords Non-Diaphragm Shock Tube; Rapid Opening Valve; Shock Wave Measurement Systems

¹Electronic Department, Information & Communication Technology Faculty, Imam Hossein University, Tehran, Iran

²Manufacturing Department, Mechanics Faculty, K. N. Toosi University of Technology, Tehran, Iran

*Correspondence

Address: Mechanics Faculty, K. N. Toosi University of Technology, Pardis Avenue, Molla Sadra Avenue, Vanak Square, Tehran, Iran. Postal Code: 1999143344

Phone: +98 (21) 84063384
Fax: +98 (21) 88674748

zamani@kntu.ac.ir

Article History

Received: July 09, 2018
Accepted: December 19, 2018
ePublished: May 01, 2019

CITATION LINKS

- [1] Manufacturing of closed-end gas driven shock tube
- [2] Recent advances in laser absorption and shock tube methods for studies of combustion chemistry
- [3] Design of a high-pressure single pulse shock tube for chemical kinetic investigations
- [4] Development of a small diameter shock tube and measurement of basic characteristics
- [5] Diaphragmless shock wave generators for industrial applications of shock waves
- [6] Unsteady convective surface heat flux measurements on cylinder for CFD code validation
- [7] A miniature high repetition rate shock tube
- [8] A rapid opening sleeve valve for a diaphragmless shock tube
- [9] A new fast acting valve for diaphragmless shock tubes. In: Kontis K, editor. 28th international symposium on shock waves 1
- [10] Introduction to hydraulics and pneumatics
- [11] An autoreferenced two-state optical fibre reflective sensor

طراحی و ساخت یک شیر بازشونده سریع جدید به همراه سیستم اندازه‌گیری فیبر نوری برای لوله شوک بدون دیافراگم

محمدحسنی قزلایاغ PhD

گروه مهندسی الکترونیک، دانشکده فناوری اطلاعات و ارتباطات، دانشگاه جامع امام حسین[ؑ]، تهران، ایران

محمدعلی صمیمی MSC

گروه ساخت و تولید، دانشکده مکانیک، دانشگاه صنعتی خواجه نصیرالدین طوسی، تهران، ایران

جمال زمانی * PhD

گروه ساخت و تولید، دانشکده مکانیک، دانشگاه صنعتی خواجه نصیرالدین طوسی، تهران، ایران

چکیده

در این مقاله به بررسی یک شیر پنوماتیک سریع و سیستم اندازه‌گیری نوری ابداعی پرداخته شده که در لوله شوک بدون دیافراگم KNTU2 قرار گرفته است. این لوله شوک قادر است موج شوک مسطح در درایبور خود را که نسبت طول به قطر آن $41/6$ است، تولید کند. لوله شوک KNTU1 از نوع دیافراگمی بوده است که محدودیت‌هایی نظیر عدم قابلیت تکرار تولید موج شوک بدون بازگردان لوله، عدم قابلیت تنظیم نسبت فشار در یک بازه مشخص، عدم امکان خودکار کردن لوله شوک، دلیل طراحی لوله شوک‌های بدون دیافراگم است. در این مقاله یک مکانیزم ابداعی برای رسیدن به سرعت بالای شیر جایگزین دیافراگم، پیشنهاد شده که زمان بازشدن با توجه به محاسبات تئوری، 8ミリ ثانية و در تست‌های به عمل آمده با اختلاف قابل قبول، 10ミリ ثانية است. قابلیت منحصر به فرد این شیر خودکار در مقایسه با شیرهای موجود، بازشدن آن از مرکز لوله به سمت گوششها مانند دیافراگم دوربین بوده که این بهترین حالت برای بازشدن شیر و یکنواختی موج حاصل است و بخشی از مدت زمان بازشدن شیر را جبران می‌نماید. همچنین هم‌استایی درایبور و درایبور، از اختشاش ناشی از تغییر مسیر یا چرخش گاز که در اغلب شیرهای مشاهده می‌شود، جلوگیری می‌کند. این قابلیت‌ها به بهینه‌شدن لوله شوک کمک می‌کند. یکی دیگر از ابتکارات انجام گرفته در این مقاله، طراحی و ساخت یک سیستم نوری برای اندازه‌گیری سرعت و لحظه رسیدن موج شوک برای بررسی صفحه‌ای شدن آن با قابلیت جابه‌جایی در درایبور است. این مقاله به مقایسه داده‌های تجربی و تئوری موج شوک تکمیل شده پرداخته است.

کلیدواژه‌ها: لوله شوک بدون دیافراگم، شیر بازشونده سریع، سیستم‌های اندازه‌گیری موج شوک

تاریخ دریافت: ۱۳۹۷/۰۴/۱۸

تاریخ پذیرش: ۱۳۹۷/۰۹/۲۸

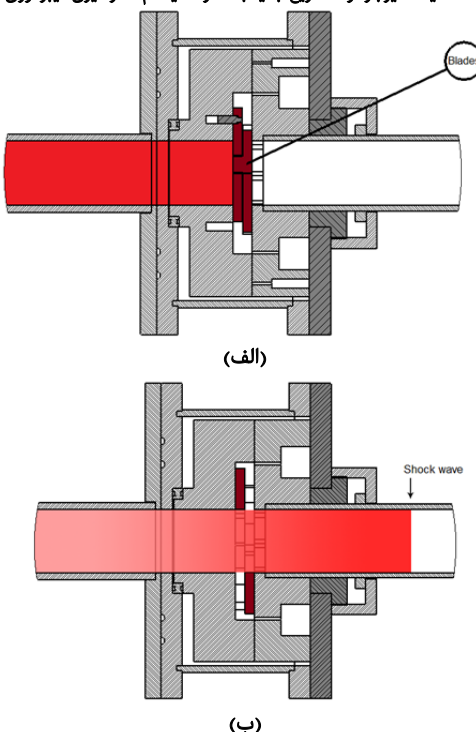
^{*}نوبنده مسئول: zamani@kntu.ac.ir

۱- مقدمه

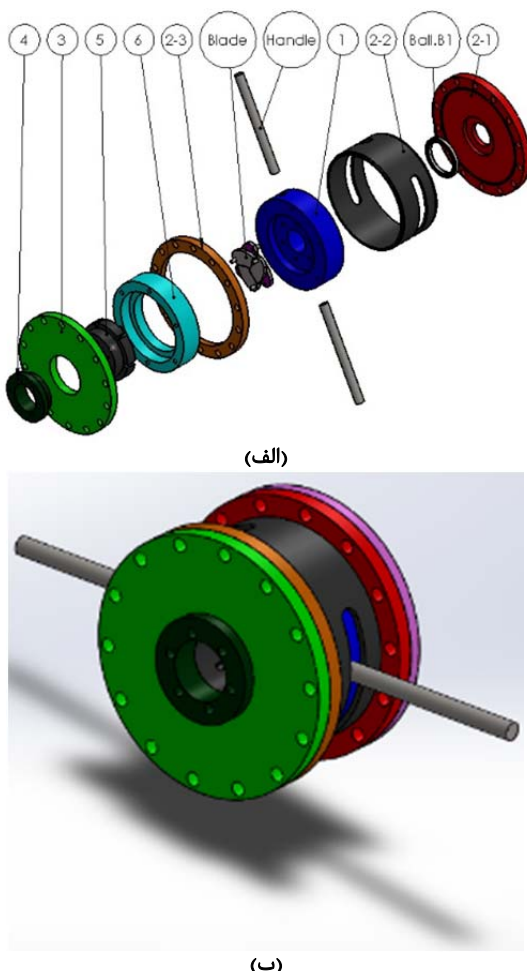
تولید و بررسی موج شوک و تاثیرات آن، یکی از سرفصل‌های اصلی در شاخه مکانیک انفجار است. یکی از محدودیت‌های موجود برای تولید موج شوک، نیاز به مواد منفجره برای تولید موج شوک است. دانشمندان این شاخه، سال‌های است که با اختصار و ساخت لوله‌های شوک، امکان ایجاد موج شوک بدون نیاز به ماده منفجره را فراهم نموده‌اند. حتی با وجود ماده منفجره، تولید موج‌های شوک کاملاً کنترل شده و یکسان، کار بسیار سختی بوده که لوله شوک به راحتی این امکان را فراهم نموده است. برای بررسی موج شوک، کالیبره کردن سنسورهای شوک، در صنعت هواپما (ایجاد توفیل‌های باد) و همچنین در بیوتکنولوژی (تأثیر موج شوک بر بدن انسان) کاربرد دارد. در لوله شوک‌های معمول، دو ناحیه گاز پُرفشار (درایبور) و گاز کم‌فشار (درایبور) داریم که با یک دیافراگم از هم جدا شده‌اند. فشار ناحیه پُرفشار، به تعداد، ضخامت و جنس دیافراگم بستگی دارد. با پاره شدن یک دفعه دیافراگم جداکننده دو ناحیه، تولید موج شوک انجام می‌گیرد^[۱]. پارگی دیافراگم، راحت‌ترین روش برای

۲- ساختار لوله شوک برای آزمایش‌ها

این لوله شوک برای مطالعه و بررسی موج‌های شوک متولی



شکل ۳) نمای برش خورده شیر KNTU2 (الف) هنگامی که شیر بسته است؛
ب) هنگامی که شیر به طور کامل باز شده است.



شکل ۴) اجزای تشکیل دهنده شیر 2 (KNTU؛ الف) نمای انفجاری، ب) نمای مونتاژ شده

ساخته شده است. در طراحی انجام گرفته، فشار اولیه درایور (P_4) بین ۷ تا ۲۰ بار و فشار اولیه درایون (P_1) بین ۵/۰ تا ۱ بار است. قطر داخلی لوله درایون برابر با 4 میلیمتر و طول آن به نسبت قطر برابر با $41/6$ است. درایور به طول یکمتر و درایون به طول $2/5$ متر در راستای همیگر قرار دارند و نسبت قطرهای داخلی آنها که سطح جریان گاز بوده، با هم برابر است. برای راحتی کار، لوله شوک به نحوی طراحی شده است که در آن از هوا به عنوان گاز فشرده در درایور استفاده شود. یک مخزن با فشار بالا برای پُرکردن و تامین فشار درایور به کار گرفته شده است. برای بررسی و مطالعه شرایط موج شوک در درایون، یک سیستم اندازه‌گیری نوری، طراحی و ساخته شده که قابلیت اندازه‌گیری سرعت و بررسی یکنواختی موج با کمک آن سیستم مهیا شده است. در شکل ۱ شکل واره لوله KNTU2 و شماتیک آن مشاهده می‌شود.



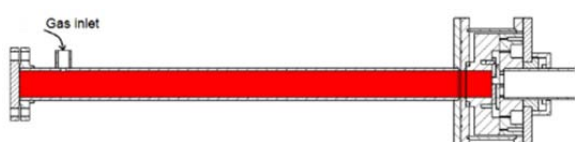
شکل ۱) لوله شوک KNTU2

در شکل ۱، بخش شماره ۱ محرک، بخش شماره ۲ شیر چندزمانه، بخش شماره ۳ متحرک و بخش شماره ۴ نشاندهنده قسمت طراحی شده برای نصب سیستم اندازهگیری است. همچنین بخش ابتدایی محرک بهمنظور افزایش فشار در این ناحیه و بخش انتهایی قسمت اندازهگیری بهمنظور قابلیت کاهش فشار در متعرک توسط فلنجهای کورک مسدود شده‌اند. همان‌طور که در شکل ۲ مشاهده می‌شود، در ابتدای راه اندازی لوله شوک، گاز پُرفشار از مخزن پُرفشار از طریق شیر تعبیه شده با دبی و سرعت بالا وارد بخش محرک می‌شود و پشت تیغه‌های طراحی شده شیر ذخیره می‌شود تا فشار در حدائق زمان به اندازه مطلوب برسد.

شكل ۳-الف، نمای برش خورده از شیر KNTU2 را در حالتی نشان می دهد که شیر بسته است. هنگامی که فشار در محرک به اندازه مطلوب رسید، با عمل کردن سیستم پنوماتیک شیر به عنوان محرک (که با یک کمپرسور تغذیه می شود)، دسته شیر می چرخد و در نتیجه، تیغه ها در کسری از ثانیه به صورت دورانی حرکت می کنند و موجب بازشدن دهانه شیر و تخلیه گاز متراکم به داخل بخش متحرک و ایجاد موج شوک در آن می شوند. این امر در شکل ۳-ب نشان داده شده است.

۱-۲- اجزاءی شیر و پیکریندی آن

این مکانیزم از ۱۱ قطعه تشکیل شده است. شکل ۴، نمای انفجاری از این مکانیزم را نشان می‌دهد. در این مکانیزم، قطعه‌های ۱-۲ و ۳-۴ بدنه اصلی این شیر هستند. در داخل قطعه‌های ۱-۲ و ۶ دو بلرینگ به صورت انتباری پرسی قرار می‌گیرند. علت انتخاب این بلرینگ‌ها، تحمل نیروی محوری ناشی از فشار گاز و همچنین اصطکاک باین دو حرکت است.

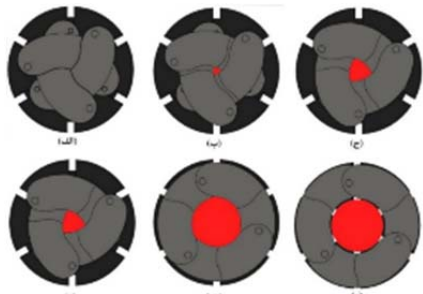


شكل ٢) شرایط اولیه هنگام یُرشدن محرك

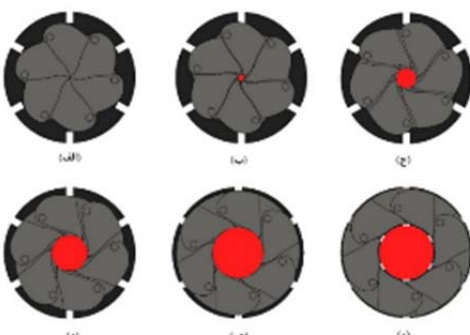
سرعت بازشدن شیر تاثیرگذار است. برای جلوگیری از نشتی، از چسبهای واشرساز و اورینگها استفاده شده است. دو نکته در طراحی‌های صورت‌گرفته مدنظر بوده است. اولین نکته، بررسی بازشدن دهانه شیر دقیقاً از مرکز شیر، در حالتی که دهانه به صورت ترکیبی از سه منحنی باز شده (شکل ۶) و حالتی که شیر به صورت ترکیبی از شش منحنی (شکل ۷) باز می‌شود. بدین ترتیب امکان اثر شکل بازشدن دهانه روی موج شوک قابل بررسی است. نکته بعد، بررسی اثر بازشدن شیر دقیقاً از مرکز و قسمت‌های کناری روی یکنواختی موج شوک است. علت بررسی این نکته، پاره شدن برخی از دیافراگم‌ها از قسمت کناری دیافراگم در لوله‌های شوک دیافراگمی است که موجب تغییر شکل موج شوک ایجاد شده می‌شود. به همین منظور، دسته سوم از تیغه‌ها برای شیر طراحی و ساخته شده است (شکل ۸). ثالثاً این شیر، امکان تنظیم فشار اولیه درایور بین ۷ تا ۲۰ بار با کمک مخزن فشار بالا و درایون بین یک تا ۵/۰ بار به کمک پمپ خلا را دارد که می‌توان موج‌های تکرارپذیر شوک با سرعت و فشارهای مختلف و دلخواه را ایجاد نمود.



شکل ۵) تیغه‌های آلومینیومی



شکل ۶ شماتیک مجموعه سه تیغه ای برای بستن دهانه در زمان های مختلف هنگام بازشدن از مرکز شیر؛ (الف) $t=ms$ ، (ب) $t=ems$ ، (ج) $t=3/2ms$ ، (د) $t=4/3ms$ ، (ه) $t=4/4ms$ ، و (و) $t=Ams$ ؛ ناحیه قرمز نشانگر قسمت بازشده دهانه است که سال، تُفشا نه آن، عبور می کند.



شکل ۷ شماتیک مجموعه شش تیغه‌ای برای بستن دهانه در زمان‌های مختلف هنگام بازشدن از مرکز شیرینی: (الف) $t=0$, (ب) $t=1/6\text{ms}$, (ج) $t=2/3\text{ms}$, (د) $t=\text{Ams}$, (ه) $t=4/3\text{ms}$, (ع) $t=4\text{ms}$

روی بلبرینگ شماره ۱ که قرار می‌گیرد و دو دسته به داخل آن پیچ می‌شوند. این دسته‌ها از طریق سیستم پنوماتیک که در بخش‌های بعد توضیح داده می‌شود، وظیفه تامین نیروی لازم برای عملکرد شیر را دارند. به علت استفاده از پیکربندی‌های متفاوت، روی قطعه شماره ۱ شیاری به اندازه زاویه ۱۰۰ درجه ایجاد شده است که امکان چرخش قطعه ۱ را فراهم می‌کند. قطعه ۶ روی قطعه ۱ توسط پیچ‌های آلن با قطر ۸ میلی‌متر و طول ۲۵۵ میلی‌متر روی قطعه ۱ پیچ می‌شود. به منظور بستن دهانه شیر از یک مجموعه تیغه استفاده می‌شود. این تیغه‌ها دارای دو پایه در دو سر خود هستند. یکی از آن پایه‌ها در سوراخ‌های تعییب شده در روی قطعه ۱ قرار می‌گیرد. در ادامه، بیشتر به بررسی این تیغه‌ها خواهیم پرداخت. پس از قرارگیری تیغه‌ها، بلبرینگ شماره ۱ روی قطعه ۶ به صورت پرسی نصب می‌شود و قطعه ۵ روی آن قرار می‌گیرد. با این کار، پایه دوم تیغه‌ها در شیارهای تعییب شده روی قطعه ۶ قرار می‌گیرد. سپس فلنچ شماره ۳ روی قطعه ۵ توسط قطعه واسط پیچ می‌شود تا مانع از حرکت شعاعی قطعه شماره ۵ شود. به این ترتیب با حرکت میله‌های تعییب شده، دهانه توسط تیغه‌ها بسته خواهد شد. قسمت ۴ نیز در این شیر به منظور نگهداری کامل متحرک در داخل شیر در نظر گرفته شده است. همچنین به منظور موقعیت‌دهی دقیق متحرک در شیر، در داخل قطعه شماره ۵، یک پیله تعییب شده است تا لوله متحرک از بخش معینی جلوتر نزود.

۲-۲- مشخصه‌های ویژه شیر سریع:

شیر طراحی و ساخته شده، ویژگی های طراحی قابل توجهی دارد که نیاز است به صورت خاص به آن پرداخته شود. اولاً طراحی لوله های شوک بدون دیافراگم غالباً براساس پیستون های حرکت سریع است. در این گونه طراحی، محرك، پیرامون متحرک قرار می گیرد. حرکت پیستون در یک بازه کم موجب بازشدن کامل شیر می شود. عیب اصلی این روش، چرخش ۱۸۰ درجه ای جریان گازی است که موجب اختشاشات چشمگیر در موج شوک می شود^[۹]. به منظور جایگزینی دیافراگم با مکانیزمی که همانند آن عمل کند، می بایست چند موضوع مدنظر باشد. اول اینکه مقطع لوله باید در کسری از ثانیه باز شود. موضوع مهمتر این است که هندسه شیر باید به گونه ای باشد که اثر چشمگیری روی فرآیند موج شوک در طول بازشدن این مکانیزم نداشته باشد. بهترین حالت لوله، آن است که بخش درایور و درایون در یک راستا بوده و شیوه بازشدن آن برای تولید موج یکنواخت، بازشدن از وسط و به صورت متقابران باشد که در طراحی لوله شوک در نظر گرفته شده است و حتی این موضوع می تواند مقداری از کمبودن سرعت بازشدن شیر را هم جبران نماید. مهمترین ویژگی این شیر هم بازشدن متقابران از وسط در کسری از ثانیه است که به تولید موج یکنواخت در زمان و فاصله کمتر کمک م- کنند.

ثانیاً مزیت دیگر این مکانیزم به عنوان شیر لوله شوک، قابلیت نصب تیغه‌های مختلف است که امکان بررسی تاثیر بازشدن دهانه در حالت‌های مختلف بر تشکیل و یکنواختی موج شوک را فراهم می‌کند. سه نوع تیغه طراحی و ساخته شده است که علت استفاده از این تیغه‌ها، تفاوت در نحوه بازشدن دهانه شیر است. برای طراحی شکل هر گروه از تیغه‌ها از نرم افزارهای شبیه‌سازی و برای ساخت آنها از CNC‌های چند بعدی استفاده شده است. با توجه به شبیه‌سازی که با نرم افزار ABAQUS انجام گرفت، دو جنس آلومینیوم با ضخامت ۹ میلی‌متر و تیتانیوم با ضخامت ۲ میلی‌متر قابل استفاده هستند (شکل ۵). حسن آلومینیوم، ماشین کاری را بحث و قیمت پایین آن و حسن تیتانیوم، وزن کم آن، بوده که در

کمپرسور ایجاد می‌شود و همچنین قطر پیستون ۴۰ میلی‌متر، نیروی ایجادشده وارد به پیستون محاسبه می‌شود:

$$F = PA = 7 \times 10^5 \times \pi \times 0.02^2 = 879.2 \text{ N} \quad (1)$$

اکنون با مکم قانون دوم نیوتون، با توجه به جرم پیستون و ممان اینرسی چرخشی بخش‌های متحرک درون شیر که معلوم است، شتاب حرکت پیستون از رابطه زیر به دست می‌آید:

$$\sum F = ma + Ia/r^2 \quad (2)$$

در اینجا این نکته قابل ذکر بوده که با توجه به اتصال سیلندر به مخزن، فشار داخل سیلندر و همچنین ممان اینرسی چرخشی نیز ثابت فرض شده است.

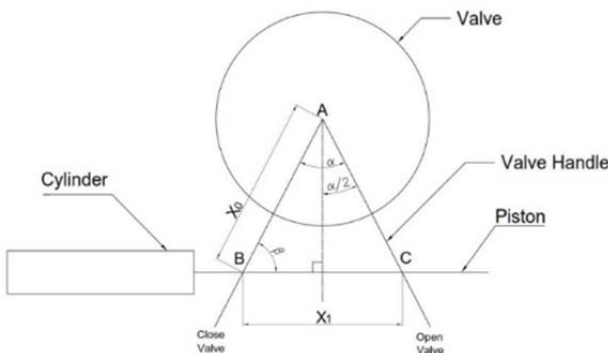
در ادامه با توجه به کورس حرکتی لازم برای بازشدن کامل شیر که ۲۰ سانتی‌متر است و جایگذاری آن در رابطه سینماتیک حرکت با شتاب ثابت (رابطه 3)، مدت زمان بازشدن شیر برابر با $\frac{8}{3}$ میلی‌ثانیه است:

$$\Delta x = \frac{1}{2} at^2 \quad (3)$$

نکته مورد توجه در طراحی، محل و نوع قرارگیری سیلندر است، به‌نحوی که کورس حرکتی حداقل ممکن شود. با حل یک مساله بهینه‌سازی، کمترین کورس در حالتی به دست می‌آید که سیلندر در $\alpha/2$ ، α زاویه دوران شیر برای بازشدن به‌طور کامل است، بر میله دوران عمود باشد (شکل ۹). در این صورت، سرپیستون در هر باز یا بسته شدن، یک حرکت رفت و برگشتی روی دسته شیر انجام می‌دهد و به‌کمک این حرکت که با یک زانویی در سرپیستون و یک بلبرینگ روی دسته شیر ایجاد شده است، حرکت خطی پیستون به حرکت دورانی شیر تبدیل می‌شود.

جدول ۱) مشخصات عملگر پیonomاتیک

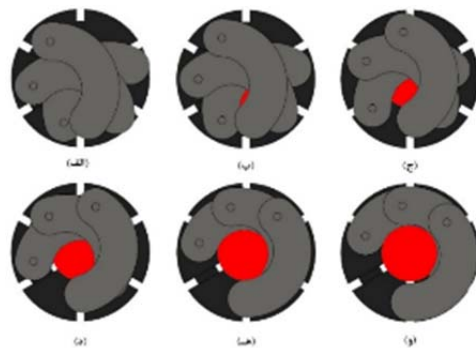
سیلندر پیonomاتیک	نوع سیلندر
۳۲۰	کورس حرکتی (میلی‌متر)
۷۷۰	حداکثر نیروی اعمال شده توسط سیلندر (بار)
۱۰	حداکثر فشار کاری (بار)
۴۰	قطر پیستون (میلی‌متر)



شکل ۹) شکل‌واره شیر پرسخت در حالت بسته و باز

۴- طراحی و ساخت سیستم اندازه‌گیری نوری
با توجه به شرایط و محدودیت‌ها، سیستم اندازه‌گیری مورد نیاز در این تحقیق، باید دارای الزامات زیر باشد:

- ۱- سرعت بسیار بالای اندازه‌گیری برای بررسی موج شوک
- ۲- قابلیت تنظیم برای فشار در بازه‌های مختلف
- ۳- عدم ایجاد اختلال به وسیله نویزهای الکترونیکی
- ۴- قابلیت اندازه‌گیری لحظه رسانیدن و سرعت موج شوک
- ۵- قابلیت اندازه‌گیری سرعت بازشدن شیر



شکل ۸) شماتیک مجموعه سه‌تیغه‌ای برای بستن دهانه در زمان‌های مختلف هنگام بازشدن از قسمت کناری شیر؛ (الف) $t=0\text{ms}$ ، (ب) $t=1/6\text{ms}$ ، (ج) $t=8\text{ms}$ ، (د) $t=4/8\text{ms}$ ، (ه) $t=4/4\text{ms}$ ، (و) $t=3/2\text{ms}$

همچنین، این شیر به صورت کاملاً خودکار عمل کرده و به محض رسیدن فشار درایور و درایون به حد مورد نظر عمل می‌کند و قابلیت تولید موج‌های شوک متوالی با فاصله چندانیه (بسته به فشارهای اولیه دوره تولید موج متغیر است) را دارد.

۳- تجزیه و تحلیل بازشدن شیر

برای بازنمودن سریع شیر مورد استفاده در لوله شوک، نیاز به مکانیزمی است که بتواند این سازوکار را بدقتی و تحت زمان مورد نظر به انجام برساند. با توجه به مطالعات صورت‌گرفته، از سیستم پیonomاتیک در مواردی که نیروهای نسبتاً پایین (حدود یک‌تُن) و سرعت‌های حرکتی بالا مورد نیاز باشد (مانند سیستم‌هایی که در قسمت‌های محرك ربات‌ها به کار می‌روند)، استفاده می‌کنند. در صورتی که کاربردهای سیستم‌های هیدرولیکی عمده‌تاً در مواردی است که قدرت‌های بالا و سرعت‌های کنترل شده دقیق مورد نظر باشد (مانند جک‌های هیدرولیک، ترمز و فرمان هیدرولیک و غیره) [۱۰] که در واقع با توجه به مطالب گفته شده، سیستم پیonomاتیک برای بازنمودن شیر مورد نظر، مناسب‌تر و مقرون به صرفه‌تر است.

اجزای این سیستم پیonomاتیک عبارت از کمپرسور، واحد مراقبت کمپرسور، شیرهای کنترل و عملگر هستند. کمپرسورها در سیستم پیonomاتیک، وظیفه تامین انرژی مورد نیاز را انجام می‌دهند که از طریق تراکم سیال به دست می‌آید. در این سیستم از کمپرسوری با ظرفیت ۰۰۰ لیتر بر دقیقه استفاده شد.

هر واحد مراقبت معمولاً از یک فیلتر، یک شیر تنظیم فشار، یک روغن‌زن و یک نمایشگر فشار تشکیل شده است. این بخش، وظیفه جداسازی ذرات جامد موجود در هوا، روغن‌زنی هوا به منظور افزایش عمر قطعات مدار پیonomاتیک و کاهش رطوبت موجود در هوا خروجی را بر عهده دارد.

برای بهکارانداختن عملگر و کنترل روی جریان سیال متراکم سیستم، نیاز به شیر است. در این سیستم از یک شیر پیonomاتیک ۳ به ۲ (شرکت فستو) استفاده شده است. نکته حائز اهمیت در انتخاب عملگر، تامین سرعت مورد نیاز برای بازکردن شیر است. برای این منظور از جک ۴۰×۳۲۰ دوطرفه فستو استفاده شده است. این جک دارای قطر پیستون ۴۰ میلی‌متر و کورس حرکتی ۳۲۰ میلی‌متر است که در جدول ۱ مشاهده می‌شود.

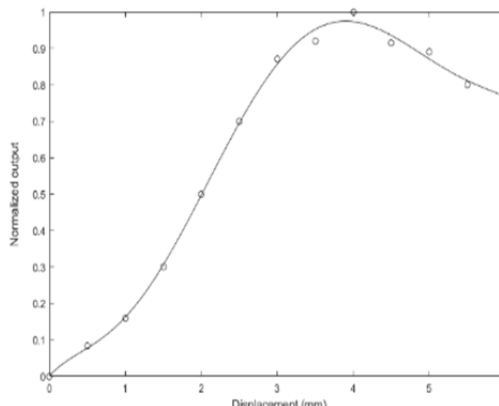
۴- مدت زمان بازشدن شیر

ابتدا محاسبات اولیه‌ای برای به دست آوردن زمان بازشدن، آورده و با مقایسه آن با نتایج تجربی، صحت آن سنجیده می‌شود. با توجه به فشار داخلی پیستون به اندازه ۷atm که با کم اتصال به مخزن

برای دستیابی به ویژگی‌های فوق با گرفتن ایده کلی از مطالعه الیور و همکاران^[11]، سنسور مورد نظر طراحی و ساخته شد و مورد استفاده قرار گرفت. در این سنسورها، یک صفحه فلزی با سطحی براق در فاصله مشخص از دو فیبر نوری (فرستنده و گیرنده) روی یک فنر نصب می‌شود (شکل ۱۰) و در مقابل موج شوک قرار می‌گیرد و با رسیدن فشار موج به این صفحه، در آن جابه‌جایی رخ می‌دهد.

این جابه‌جایی، سبب تغییر در میزان نور بازتابی از صفحه به فیبر گیرنده است که با بررسی میزان نور دریافت شده به کمک یک مدار الکترونیکی، آن را به یک سیگنال الکترونیکی (ولتاژ) تبدیل می‌کند و می‌توان با کالیبره کردن دستگاه، میزان جابه‌جایی را به دست آورد. با داشتن زمان شروع جابه‌جایی، در اصل، زمان رسیدن پیشانی موج شوک به دست آمده است. حال با قراردادن چند سنسور در مختصات مختلف از یک سطح مقطع مشخص و به دست آوردن زمان رسیدن موج به هر سنسور، می‌توان صفحه‌ای شدن موج شوک را بررسی نمود. همچنین با قراردادن دو سنسور در فاصله معلوم از یکدیگر در بخش درایون و داشتن زمان رسیدن به هر سنسور می‌توان سرعت موج شوک را محاسبه کرد. نکته قابل توجه در این سیستم، طراحی فیکسچری است که با کمک آن می‌توان سنسورها را در هر سطح مقطع دلخواهی از درایون قرار داد و این بدان معناست که می‌توان شرایط موج را در هر بخش درایون به دست آورد.

نکته قابل توجه، تکرارپذیری تک‌تک سنسورها است و اینکه خروجی آنها یکسان و شبیه به هم باشد. برای اثبات این موضوع، نمودار نرمالایز شده ولتاژ بر حسب جابه‌جایی آنها به دست آمد که برای همه، شبیه به هم و به صورت نمودار ۱ است. همان‌طور که از نمودار مشخص است، در بازه ۱/۵ تا ۲/۵ میلی‌متر، نمودار شکلی خطی دارد و این به معنای امکان جابه‌جایی صفحه در این بازه برای گرفتن خروجی صحیح است. خارج از این بازه، نمودار از حالت خطی خارج می‌شود و تحلیل آن امکان‌پذیر نیست. برای انجام تست‌ها، صفحه در فاصله ۲/۲ میلی‌متر از فیبر قرار داده شد تا امکان جابه‌جایی به میزان ۷/۰ میلی‌متر ممکن شود.



نمودار ۱۰) تغییرات ولتاژ بر حسب جابه‌جایی فنر

به منظور قرارگیری این سامانه در انتهای لوله شوک نیاز به دو بخش قسمت اندازه‌گیری و فیکسچر است (در ادامه به آن پرداخته می‌شود) که اجزای سنسور روی فیکسچر نصب می‌شوند و با کمک فیبر نوری، سیگنال‌ها از لوله به بخش مدار الکتریکی انتقال می‌یابد.

۱-۴- قسمت اندازه‌گیری در لوله شوک

به منظور نصب حسگرها در لوله شوک و همچنین فراهم کردن شرایط برای کاهش فشار در متوجه شوک نیاز به قسمت اندازه‌گیری در لوله شوک است. این بخش بعد از درایون قرار گرفته و دارای طولی به اندازه ۵/۵ متر و قطری معادل با قطر متوجه و همچنین با آن است. برای اتصال این بخش به درایون از فلنچهای از نوع اسلیپون و کلاس ۳۰۰ و شماره نامی ۲ استفاده شد. همچنین یک شیر تخلیه سریع در انتهای این لوله نصب شده است که در زمان رسیدن موج شوک به انتهای لوله با افزایش ناگهانی فشار این شیر عمل می‌کند و موجب می‌شود اثر بازتابش موج شوک به داخل لوله به حداقل مقدار ممکن برسد.

۲-۴- فیکسچر سیستم اندازه‌گیری

به منظور موقعيت‌دهی و ثابت‌کردن حسگرها در قسمت اندازه‌گیری در انتهای لوله شوک، نیاز به فیکسچر است. از آنجایی که هدف اصلی در استفاده از حسگرها، بررسی یکنواختی و پروفیل فشار موج شوک است، این فیکسچر با هگونه‌ای طراحی شد که بتوان تا حد امکان، پروفیل فشار نقاط مختلف از موج شوک درون لوله را اندازه‌گیری کرد. قسمت پیشانی در این فیکسچر دارای ۱۸ سوراخ است. این سوراخ‌ها قابلیت نصب کلگی حسگرها را دارند (شکل ۱۱). بنابراین برای بررسی یکنواختی موج شوک، یک حسگر در مرکز فیکسچر قرار می‌گیرد و دو حسگر دیگر در سایر نقاط به صورت تصادفی نصب می‌شوند. بدین صورت اگر موج شوک از حالت کروی خارج شود و به صورت صفحه‌ای و یکنواخت در بیاید، سیگنال خروجی از سه حسگر اطراف با سیگنال خروجی از حسگر مرکزی یکسان است. اما اگر موج شوک در فاصله طی شده یکنواخت نشده باشد، خروجی حسگرها با یکدیگر تفاوت چشمگیری خواهد داشت. بیان این نکته ضروری است که اگر تعداد حسگرها افزایش یابد و قطر موثر صفحه حساس آنها تا حد ممکن کاهش یابد، با استفاده از نرم‌افزارهای کامپیوتربی نمود و نمای برش خوده و جانبی آن را بدون استفاده از دستگاه‌هایی نظیر دوربین پُرسرعت یا شلرین به دست



شکل ۱۰) طرح شماتیک کلگی سیستم اندازه‌گیری نوری

انتخاب شده اهمیت بسزایی دارد. بدین منظور برای هر سنسور از دو رشته فیبر نوری (به عنوان فرستنده نور و گیرنده نور بازنایی) با استاندارد ۶۲/۵-۱۲۵ استفاده شده است. این فیبر نوری از نوع فیبرهای نوری با قابلیت حساسیت بالا است و قیمت مناسبی نیز دارد. پوشش این فیبرها از جنس پلیمر PTFE است. این دو رشته فیبر وارد پروب می‌شود و از طرف دیگر، خود به مدار الکترونیکی متصل می‌شود.

۲- پروب اندازه‌گیری: بخش حساس این سیستم اندازه‌گیری را تشکیل می‌دهد و به عبارت دیگر، قسمتی از سیستم اندازه‌گیری است که در معرض موج شوک قرار گیرد و مقدار فشار موج شوک (P₂) را اندازه‌گیری می‌کند. این قسمت شامل یک میله مسی با دو سوراخ تعییه شده در درون آن بهمنظور قرارگیری دو رشته فیبر نوری مورد استفاده در سنسور است. در سنسور نیاز است که دو رشته فیبر با ظرافت و دقیق در کنار هم قرار گیرند. این دو فیبر توسط چسب در پروب فیکس شده‌اند.

۳- فنر واسط بین پروب و صفحه بازنایی: پس از آن که جبهه موج به صفحه بازنایی بخورد می‌کند، این صفحه دچار جابه‌جایی می‌شود. برای آن که تأخیر زمانی بین فرآیند بخورد موج شوک به صفحه و جابه‌جایی صفحه، به حداقل زمان خود برسد، از یک فنر واسط بین صفحه و پروب استفاده شده است (شکل ۱۰). این فنر قطر داخلی ۱/۵ میلی‌متر را دارد و مقدار سختی آن با توجه به داشتن مقدار محاسبه شده فشار موج و جابه‌جایی مجاز به دست آمده است.

۴- صفحه بازنایی: این صفحه همچون آینه عمل می‌کند و با بخورد موج به علت جابه‌جایی خطی که دارد، باعث تغییر در زوایای بازنایش نور می‌شود. با توجه به محاسبات و شبیه‌سازی انجام گرفته، جنس این صفحه از استیل انتخاب شده و ضخامت آن ۱/۵ میلی‌متر و قطر آن ۵۵ میلی‌متر است. این صفحه توسط فنر واسط، به پروب متصل می‌شود. چنانچه فشار گاز به پشت صفحه منتقل شود، ممکن است در جابه‌جایی صفحه خلل ایجاد شود. به همین دلیل، برای آبیندی و جلوگیری از نشتی گاز پُرفشار به پشت صفحه، از یک واشر لاستیکی نرم بین صفحه و سر پروب استفاده شد.

۵- خروجی و ورودی پروب: پس از ایجاد سوراخ‌هایی با مشخصات ذکر شده در میله مسی پروب، دو رشته فیبر مورد نظر در درون این سوراخ‌ها به شکل مناسبی تعییه می‌شوند. این دو رشته فیبر از دو سر دیگر خود به مدار الکترونیکی مورد نظر متصل می‌شود که در واقع، نقش خروجی و ورودی پروب را ایفا می‌کنند.

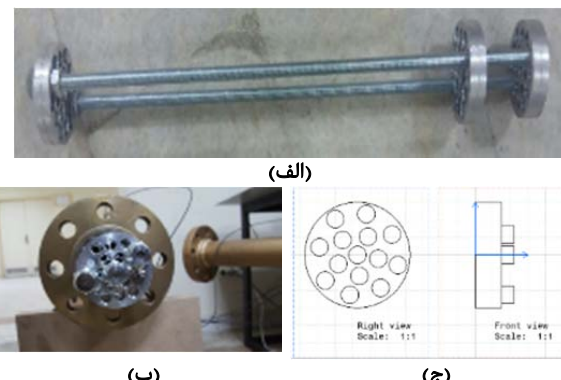
۶- مدار الکترونیکی متصل به پروب: این مدار الکترونیکی، به طور کلی شامل یک کیت الکترونیکی به همراه یک فرستنده و گیرنده نور است. مدار، شدت نور ورودی را به ولتاژ تبدیل می‌کند و آنرا زل به اسیلوسکوپ می‌فرستد. کیت مورد نظر درون یک محفظه فلزی قرار می‌گیرد که بهمنظور کاهش تاثیر نویزهای محیط آزمایشگاه، به یک فیلتر مجهز شده است. لازم به ذکر است خروجی و ورودی پروب، به این محفظه فلزی شامل مدار الکترونیکی متصل می‌شوند.

۷- بدنه سنسور: بهمنظور قرارگیری پروب اندازه‌گیری در بخش اندازه‌گیری لوله شوک، فیکسچر طراحی شد که بهمنظور قرارگیری صحیح پروب در درون این فیکسچر، نیاز به ساخت سازوکاری برای این امر بود. به همین دلیل با استفاده از یک پیچ با قطر داخلی ۱۰ میلی‌متر و قراردادن پروب در درون آن، صلبیت پروب در فیکسچر بخش اندازه‌گیری لوله شوک، تأمین شد.

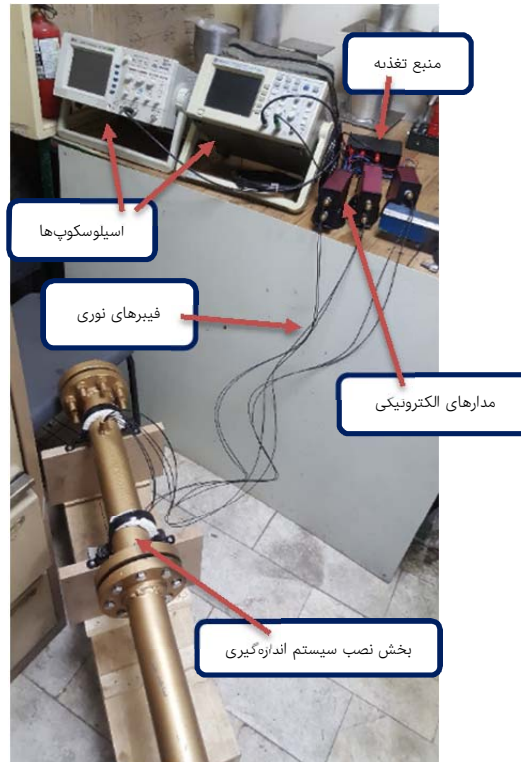
آورد که البته در این مقاله به دلیل محدودیت‌ها این امر صورت نپذیرفته است.

همچنین، در این سیستم اندازه‌گیری، امکان بررسی یکنواختی موج در فواصل مختلف از شیر در محرك ایجاد شده است. فیکسچر با استفاده از پیچ‌های تنظیم تعییشده، قابلیت تثبیت سنسورها در مکان‌های گوناگون از دهانه شیر لوله شوک را دارد. بدین ترتیب بدون تعویض محرك می‌توان یکنواختی موج شوک را در فاصله‌های دلخواه از شیر بررسی نمود.

بخش‌های مختلف سیستم اندازه‌گیری به شرح فیبر نوری، پروب اندازه‌گیری، فنر واسط بین پروب و صفحه بازنایی، صفحه بازنایی، خروجی و ورودی پروب، مدار الکتریکی متصل به پروب، بدنه سنسور، منبع تغذیه و اسیلوسکوپ (شکل ۱۲) است.



شکل ۱۱) فیکسچر بهمنظور موقعیت‌دهی سنسور در انتهای لوله شوک؛ (الف) نمای جانبی، (ب) نمای رو به رو، (ج) طرح شماتیک قرارگرفتن کلگی سنسور روی پایه



شکل ۱۲) بخش‌های مختلف سیستم اندازه‌گیری

۱- فیبر نوری: در این بخش از سیستم اندازه‌گیری، نوع فیبر

به بعد، افت شتاب رخ می‌دهد و شیر بهجای ۸ میلیثانیه در ۱۰ میلیثانیه باز می‌شود.

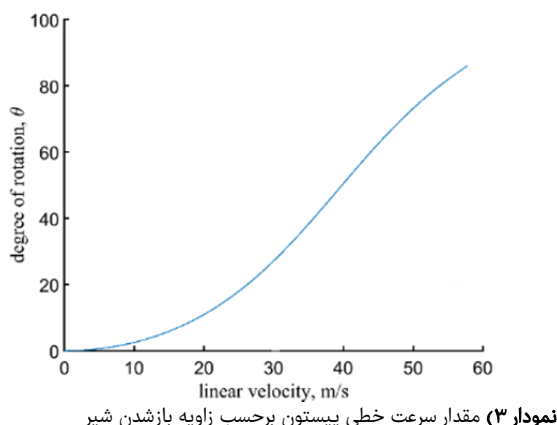
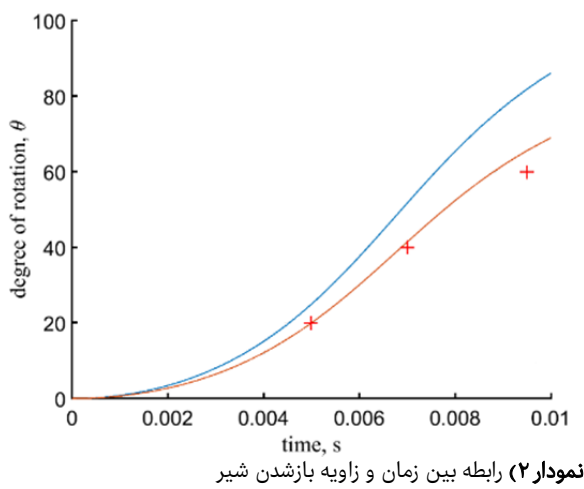
در ادامه با توجه به حرکت شتاب ثابت پیستون:

$$V = at \quad (10)$$

از این رابطه با جایگذاری t از عکس معادله ۹، نمودار زاویه سرعت خطی بهصورت نمودار ۳ به دست می‌آید. همان‌طور که در این نمودار مشاهده می‌شود، شکل کلی آن شبیه به نمودار زمان-زاویه شد، چرا که حرکت پیستون شتاب، ثابت فرض شده است.

جدول ۲) مقادیر معلوم در محاسبات

متغیر	نماد	مقادیر ثابت
زاویه اولیه بین راستای دسته و سیلندر	β	۵۶ درجه
طول اولیه دسته شیر	x_0	۱۷ سانتی‌متر
حداکثر چرخش دسته شیر	α	۴۶ درجه
فشار سیستم پیوماتیک	P	۷ بار
شتاب حرکت پیستون	a	۵۷۸۴ متر بر ثانية



در هر لحظه، سرعت خطی پیستون موجود است. اکنون با توجه به معلوم‌بودن تنا در هر زمان مشخص از رابطه ۹ و ۲ از رابطه ۴، رابطه زیر به دست می‌آید:

$$\omega = \frac{-v \sin(\theta + \beta)}{r} \quad (11)$$

با توجه به معادله فوق، نمودار زاویه-سرعت زاویه‌ای بهصورت نمودار ۴ به دست می‌آید. همان‌طور که قابل پیش‌بینی هم بود، با افزایش سرعت خطی و عمودشدن راستای پیستون بر راستای دسته شیر، سرعت زاویه‌ای افزایش پیدا می‌کند و بهتدريج با کم‌شدن

منبع تغذیه انرژی: منبع تغذیه ساخته شده برای سیستم اندازه‌گیری، از نوع DC است که دو خروجی با ولتاژ مثبت و منفی ۹ ولت دارد و منبع تغذیه انرژی مورد نیاز مدار الکترونیکی را تأمین می‌کند.

۹- اوسیلوسکوپ: دو اوسیلوسکوپ دوکاناله برای ثبت داده‌ها در نظر گرفته شد که در آن واحد، ۴ سنسور به آنها متصل می‌شود.

۵- تحلیل نتایج نظری و تجربی

باشدن شیر: شکل ۹، شماتیک شیر و سیستم پیوماتیک را نشان می‌دهد. θ در مثلث ABC زاویه راس A است که مقدار آن از صفر تا آلفا تغییر می‌کند. هنگامی که تنا برابر صفر بوده، شیر کاملاً بسته و در حال پرشدن است و به محض رسیدن به فشار پیش‌بینی شده، مدار پیوماتیک عمل کرده و پیستون شروع به حرکت می‌کند و تنا از صفر تا آلفا و x_1 از صفر تا ۲۰ سانتی‌متر تغییر می‌کند. x_0 هم که ثابت و برابر با طول AB است. β نیز زاویه رأس B بوده که همواره ثابت است. فاصله بین پیستون و مرکز دوران هم r (طول موثر دسته شیر) فرض می‌شود که در ابتدا و انتهای برابر با x_0 بوده و در بین مسیر کوچک‌تر از آن است. با توجه به مطالب مذکور و قانون سینوس‌ها:

$$r^2 = x_0^2 + x_1^2 - 2x_0x_1 \cos\beta \quad (4)$$

همچنین با توجه به حرکت شتاب ثابت پیستون:

$$x_1 = \frac{1}{2}at^2 \quad (5)$$

با توجه به معلوم‌بودن a ، در هر زمان مشخص، x_1 به دست می‌آید که با توجه به معلوم‌بودن مقادیر x_0 و β ، در هر زمان r به دست می‌آید. حال با توجه به مشخص شدن r و قانون سینوس‌ها:

$$\frac{r}{\sin\beta} = \frac{x_1}{\sin\theta} \quad (6)$$

$$\theta = \sin^{-1}(\frac{x_1}{r \sin\beta}) \quad (7)$$

با جایگذاری رابطه ۴ در ۷:

$$\theta = \sin^{-1}(\frac{x_1}{\sqrt{x_0^2 + x_1^2 - 2x_0x_1 \cos\beta}} \sin\beta) \quad (8)$$

که با جایگذاری ۵ در ۸:

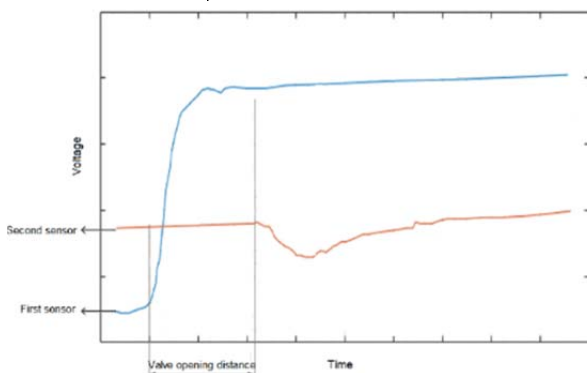
$$\theta = \sin^{-1}(\frac{1/2 at^2}{\sqrt{x_0^2 + 1/4 a^2 t^4 - x_0 at^2 \cos\beta}} \sin\beta) \quad (9)$$

از این رابطه با توجه به معلوم‌بودن جدول ۲، نمودار زمان-زاویه شیر بهصورت نمودار ۲ به دست می‌آید. نموداری که با خط آبی نشان داده شده، از محاسبات نظری و رابطه ۹ به دست آمده که با توجه به چرخش ۴۶ درجه برای بازشدن کامل شیر نشان می‌دهد که شیر در ۸ میلی‌ثانیه کاملاً باز شده است. اما زمان قرارگیری شیر در سه زاویه مشخص ۲۰ و ۴۰ و ۶۰ درجه، بهصورت تجربی و با سنسور اندازه‌گیری شده که در نمودار با علامت + نشان داده شده است. در نمودار ۲، خط عبوری از آزمایش‌ها (نقاط نشان داده شده با +) که با رنگ قرمز مشخص شده، براساس شتاب به دست آمده تا ۲۰ درجه با کمک برنامه‌نویسی در نرم‌افزار MATLAB ترسیم شده است. این افت شتاب که در نمودارها شاهد آن هستیم، به سه دلیل زیر است:

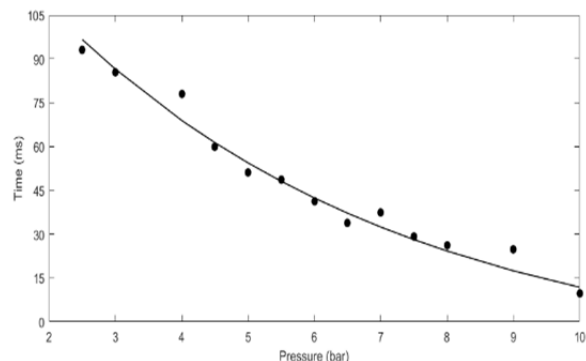
۱- اصطکاک در محاسبات صرف نظر شده است.

۲- کاهش فشار در سیلندر رخ می‌دهد.

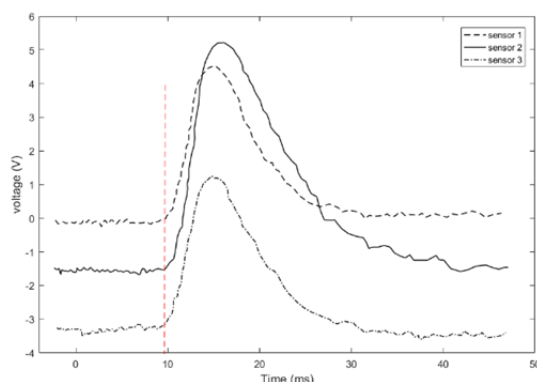
۳- با بازشدن تیغه‌ها چون فاصله از مرکز زیاد می‌شود، ممان اینرسی چرخشی افزایش می‌یابد که در محاسبات ممان اینرسی چرخشی متوسط قرار داده شده است و به همین دلیل، از یک جایی



نمودار ۵) موجهای دریافت شده از سنسورها در اوسیلوسکوپ؛ نمودار آبی مربوط به سنسور ۱ و نمودار قرمز، سنسور ۲ است



نمودار ۶) زمان بازشدن شیر در فشارهای مختلف؛ با افزایش فشار مدار پنوماتیک، زمان بازشدن شیر تا ۱۰میلیثانیه کاهش می‌یابد



نمودار ۷ سه موج دریافت شده از سنسورها در داخل لوله بر اوسیلوسکوپ؛ که نقطه شروع بکسانی دارند و این نشان صفحه‌ای شدن موج است.

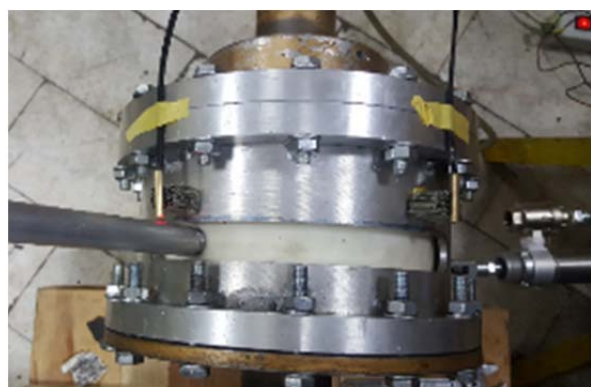
سنسور شماره ۲ در مرکز لوله و سنسورهای ۱ و ۳ در مقاطع دیگر لوله قرار گرفته‌اند. اطلاعاتی که در این نمودارها بسیار مهم بوده، لحظه شروع این نمودارها است که همان‌طور که با خطچین مشخص شده، یکسان بوده و این به معنای صفحه‌ای شدن موج شوک در این مقاطع است. نقطه شروع نمودارها با اسیلوسکوپ قابل تنظیم بوده و بهنحوی تنظیم شده است که نمودارهای حاصل قابل تفکیک باشند. تغییر ولتاژ در هر نمودار، ارتباط مستقیمی با نیروی وارد از سمت جبهه موج دارد و همان‌طور که مشاهده می‌شود، این مقدار در سنسور مرکز لوله بیشتر از نقاط دیگر است. مدت زمان رسیدن به اوج نمودار، از پیش‌بینی‌های نظری بیشتر بوده که دلیل آن تاخیری است که در حرکت فیزیکی صفحه سنسور به وجود می‌آید.

زاویه و افزایش اختلاف بین راستاهای حرکت، سرعت زاویه‌ای کاهاش می‌یابد. در انتها با برخورد به ترمز لاستیکی و تغییر جهت فشار سیلندر، شیر، متوقف و به حالت اولیه باز می‌گردد.

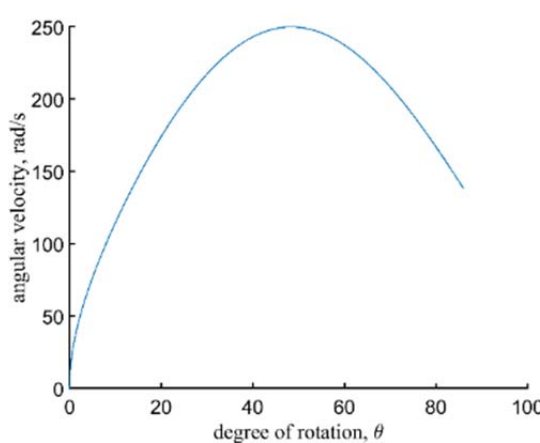
برای محاسبه مدت زمان بازشدن شیر به صورت تجربی از سنسورهای نوری معرفی شده در بخش قبل استفاده شده است. همان طور که در شکل ۱۳ مشاهده می شود، ابتدا شیر در حالت بسته و سنسور اول (نمودار آبی) در مقابل شیر و سنسور دوم (نمودار قرمز) در انتهای قسمت بازشونده شیر قرار گرفت. در این حالت، هنگام بازشدن شیر، سنسور اول و دوم هر یک به طور جداگانه اختلاف ولتاژ ناشی از برخورد نور به شیر را دریافت می کنند. سنسور اول با شروع حرکت و کنار گرفتن دسته از جلویش صعود می کند و سنسور دوم با رسیدن دسته شیر، افت ولتاژ را نشان می دهد. یک نمونه از نمودارهای دریافت شده در اوسیلوسکوپ در نمودار ۵ مشاهده می شود. با استفاده از این نمودارها و محاسبه فاصله موج دریافتی از سنسور اول و دوم در اوسیلوسکوپ، زمان بازشدن شیر به صورت تجربی محاسبه شده است.

با تکرار این آزمایش در فشارهای مختلف، نمودار ۶ به دست می‌آید. این نمودار، سرعت بازشدن شیر در فشارهای مختلف را نشان می‌دهد. همان طور که در نمودار مشاهده می‌شود، سرعت بازشدن شیر در فشار ۱۰ ابار، ۱۰ میلی ثانیه است که مطابقت خوبی با نتایج نظری دارد.

برای بررسی یکنواختی موج شوک، سه سنسور نوری در مقاطع مختلف لوله شوک قرار داده شده‌اند که در شکل ۱۱ مشاهده می‌شود. خروجی این سنسورها به اسیلوسکوپ وارد می‌شود که نمودار آنها مطابق با نمودار ۷ است.



شکل (۱۳) وضعیت سنسورها روی شیر پنوماتیک



نمودار ۴) مقدار سرعت زاویه‌ای شیر در درجه بازشدن‌های صفر تا

۶- نتیجه‌گیری

در مقاشه حاضر، یک شیر با سرعت بالا با عملگر پنوماتیک، جایگزین دیافراگم در لوله شوک شده است. این طراحی در مقایسه با طرح‌های قبلاً منتشرشده، امکان جایگزینی به جای دیافراگم در یک لوله شوک مستقیم و معمول را دارد. این شیر بین بخش پُرفشار و کم‌پرفشار لوله شوک قرار می‌گیرد و تقریباً مستقل از این دو بخش عمل می‌کند. این امر، امکان استفاده از طول‌های مختلف بخش پُرفشار و کم‌پرفشار با میزان فشار دلخواه در بازه مورد نظر را می‌دهد. علاوه بر این، تغییر جهت حرکت گاز که در مدل‌های طراحی شده دیگر وجود دارد، در این شیر به وجود نمی‌آید. همچنین بازشدن شیر از مرکز لوله انجام می‌گیرد که به تشکیل موج یکنواخت در فاصله کمتر کمک کرده است.

آزمایش‌ها نشان داد که زمان بازشدن شیر ۱۰۰ میلی‌ثانیه بوده و موج یکنواخت در انتهای بخش کم‌فشار تشکیل شده است. نوع عملکرد این شیر خودکار بوده و زمان انجام هر آزمایش در مقایسه با لوله شوک‌های دیافراگمی به صورت چشمگیری کاهش و در کمتر از ۳۰ ثانیه بوده است. همچنین سیستم اندازه‌گیری نوری طراحی و ساخته شده به درستی عمل کرده است و در اندازه‌گیری سرعت بازشدن شیر و یکنواختی موج شوک، با دقت بالایی عمل نمود که در نهایت، موج شوک صفحه‌ای در لوله شوک تشکیل شد.

تشکر و قدردانی: نویسنده‌گان از آقایان مجید حاج‌علی کوهپایه و امیرحسین سودمند اصلی و خانم فروغ سردارزاده که در طول انجام کار از هیچ کمکی در بیغ نکردند، کمال تشکر را دارند.

تاییدیه اخلاقی: موردی از سوی نویسنده‌گان بیان نشده است.

تعارض منافع: موردی از سوی نویسندهای بیان نشده است.

سهم نویسنده‌گان: محمدحسین قزلایاغ (نویسنده اول)، روش‌شناس/پژوهشگر اصلی (۳۳٪)؛ محمدعلی صمیمی (نویسنده دوم)، نگارنده مقدمه/پژوهشگر اصلی/تحلیلگر آماری/نگارنده بحث (۳۴٪)؛ جمال زمانی (نویسنده سوم)،

منابع مالی: بخشی توسط آزمایشگاه انفجار دانشکده مکانیک خواهنه نصیر الدین طوسی و بخشی تصویرت شخصی هزینه شده است.

منابع

- Zamani J, Hosseinzadeh R. Manufacturing of closed-end gas driven shock tube. *Aerospace Mechanics*. 2017;14(2):27-42. [Persian]
 - Hanson RK, Davidson DF. Recent advances in laser absorption and shock tube methods for studies of combustion chemistry. *Progress in Energy and Combustion Science*. 2014;44:103-114.
 - Tranter RS, Brezinsky K, Fulle D. Design of a high-pressure single pulse shock tube for chemical kinetic investigations. *Review of Scientific Instruments*. 2001;72(7):3046-3054.
 - Udagawa Sh, Ota M, Maeno K. Development of a small diameter shock tube and measurement of basic characteristics. *Transactions of the Japan Society of Mechanical Engineers Series B*. 2012;78(785):36-48.
 - Hariharan MS, Janardhanraj S, Saravanan S, Jagadeesh G. Diaphragmless shock wave generators for industrial applications of shock waves. *Shock Waves*. 2011;21(3):301-306.
 - Saito T, Menezes V, Kurabayashi T, Sun M, Jagadeesh G, Takayama K. Unsteady convective surface heat flux measurements on cylinder for CFD code validation. *Shock Waves*. 2003;13(5):327-337.
 - Tranter RS, Lynch PT. A miniature high repetition rate shock tube. *Review of Scientific Instruments*. 2013;84(9):094102.
 - Downey MS, Cloete TJ, Yates ADB. A rapid opening sleeve valve for a diaphragmless shock tube. *Shock Waves*. 2011;21(4):315-319.
 - Heufer KA, Olivier H, Drumm S, Murrenhoff H. A new fast acting valve for diaphragmless shock tubes. In: Kontis K, editor. 28th international symposium on shock waves 1. 1st Volume. Heidelberg: Springer; 2012. pp. 535-540.
 - Sivaraman I. Introduction to hydraulics and pneumatics. 3rd Edition. Delhi: PHI Learning Private Limited; 2017.
 - Oliver MR, Spooncer RC, Ghezelayagh MH. An autoreferenced two-state optical fibre reflective sensor. *Proceeding of Fibre Optics '86*, 1986, London, United Kingdom. Bellingham: SPIE; 1986.